## FRANCESCO FEDI (\*)

## La propagazione delle onde radio a 50 anni dalla morte di Guglielmo Marconi (\*\*)

Dovendo parlare degli studi sulla propagazione delle onde tadio a 50 anni dalla motte di Guglielmo Marconi mi sembra opportuno, nel tempo a disposizione, concentrare l'attenzione su quello che è stato il tema di ricerca più importante degli ultimi venti anni.

Già alla fine degli anni '60, infatti, si fece più pressante la necessità di impiegare porzioni delle spettro radio al di sopra dei 10 GHz per i vari servizi radio ed in primo luogo per le telecomunicazioni.

A queste frequenze l'influenza delle condizioni atmosferiche sulla propagazione delle onde radio diventa fondamentale e lo studio di tale influenza ha ben presto attratto l'attenzione del più importanti Centri di ricerca dei vari paesi.

In questo sforzo di ricerca va sottolineato il ruolo di primo piano avuto dall'Europa e dall'Italia anche nei confronti di paesi industrialmente avanzati come uli Stati Uniti edi il Gianonne.

In occasione dell'anniversatio di oggi è giusto ricordate che furono proprio gli esperimenti condotti da Marconi intorno al 1930 a dimostrare l'influenza delle condizioni atmosferiche sulla radio propagazione a frequenze superiori ad alcune centinala di MHz.

Ancora una volta in contrasto con le teorie dell'epoca, che non tenevano conto della non omogeneità delle condizioni di temperatura, pressione ed umidità atmosferiche, egli ricevette sul pantilo Elettra segnali ben al di là dell'orizzonte cutto.

Fu anche in conseguenza di questi risultati che nacque una nuova branca

<sup>(\*)</sup> Direttore delle Ricerche, Fondazione « Ugo Bondoni », Roma.
(\*\*) Relinione pessentuta: in occasione della commemorazione del cinquantesimo anniversario della morte di Guglietto Manconi villa Griffone, Pontecchio Marconi, il 20 Inglio 1987.

della scienza, la cosidetta « Radiometeorologia », proprio per lo studio dell'interazione tra propagazione delle onde radio e condizioni meteorologiche.

Nel caso delle frequenne superiori a 10 GHz il fenomeno più importante è continuito dall'assorbimento e dalla diffusione di energia elettromagnetica da parte delle idrometeore e dalle conseguenti notevoli attenuazioni che le onde ratalo possono subire nell'attraversare regioni dell'atmosfera contenenti precipitazioni ci. in particolate, pionzià.

Di tali attenuazioni occorreva necessariamente tenere conto nel dimensionamento dei radiocollegamenti e sullo studio di tale argomento si sono concentrati ali sforzi degli studiosi di tutto il mendo.

Il problema si pose dapprima per i collegamenti serrentii. Le informazioni necessarie per dimensionamento di dui collegamenti consistevamo - una volta dati la località d'installazione, la frequena e polarizzazione impiegata e la lungarza del collegamento - mell'ottenere la fusione di distribuzione dell'attenuazione dovuta a pioggia, cioè la curva che fornisce i vulori di attenuazione de A (BB) suserati ner le svarie recennatii del tempo P(%).

Una volta nota tale curva, il sistemista può calcolare il «margine di potenza» necessario per rispettare obiettivi di disposibilità prefissati, ovvero, dato il «margine di potenza», può calcolare il tempo di fisori servizito che di si può attendere sul collegamento.

Il probleme che ci si pose fia quello di come ricavare queste informazioni

Il problema che ci si pose su quello di come ricavare queste informazioni per le varie località, lunghezza di tratta, frequenze e polarizzazioni tenuto conto della notevole variabilità di tali curve di anno in anno.

La strada più ardua, na certamente più corretta dal punto di vista fisico e la posto più promettente dal punto di vista applicativo, apparve quella di cecare di costruire un modello per il calcolo di AIP) a partire da dasi metorologici che lossero disponibili in motte località e di utilizzare i dati radio raccolti sui colleamenti per verificare la precisione del modello.

Nel caso in questione si era indubbiamente avvantaggiati in quanto i dati meteorologici su cui costruire il modello esistevano. Questi erano i dati di intensità di precipitazione raccolti in tutti i puesi in numerosissime località e molte decadi dai vari Servizi Meteorologici.

Questa fu l'impostazione data al programma di ricerca italiano svolto negli anni 70 dalla Fondazione « Ugo Bordoni » per conto dell'Istituto Superiore P..T; programma che comportò anche la realizzazione di un Centro sperimentale di noterole complesistà nella piana del Focino.

Questa fu anche l'impostazione data al programma europeo COST (European Gooperation in the Scientific and Technical Field) sull'argomento, programma ideato e coordinato dall'Italia.

Il programma fu certamente importante: darò dal 72 al 78, vide la pattecipazione di 14 passi cutopei e dell'ESA ed ottenne come risultato, da una patte, una base dati veramente ragguardevole (di gran lunga superiore a quelle disponibili negli USA o in Giappone) e, dall'altra, l'unificazione delle procedure per la raccolta e l'analisi dei dati. L'importanza scientifica dei risultati fu sottolineata dalla loro pubblicazione in un numero unico della rivista Alta Frequenza (<sup>3</sup>) e la loro importanza applicativa dall'interesse suscitato in ambito CCIR (International Radio Consultative

Committee).

Il cuore del modello risiedeva nel trovare una relazione tra causa ed effetto, cioè una relazione tra l'attenuazione specifica y (dB/km) e l'intensità di precipizzione R (mm/h) Tale relazione doverse essere contrita, data la freguenza e la polarizzazione, sulla base di un modello della microstruttura delle precipizazioni.

I primi tentativi furono compiuti da doe ricercatori inglesi, Ryde e Ryde, intorno al 1945. Essi utilizzarono i risultati ottenuti dal fisico redesco Mie all'ilizirio del secolo circa la diffusione ed assorbimento di una singola goccia sferica.

Facendo l'ipotesi di gocce aferiche, tenendo conto del fatto che la gocce one hamno tutte lo stesso diametro ci utilizzando risultati sperimentali sulta distribuzione dei diametri, sulta velocità e temperatura delle gocce di pioggia, essi risicricono a dimostrare che il legame  $\gamma$ -. Re ra motto semplice, del tipo  $\gamma$ = kR "con k0 ed  $\alpha$  coefficienti de dipendono dalla frequenza.

Questi sindati finnos ostropasti a verifica sperimentale în molti posti del mondo e ci a score hea prasto de una delle juorați più discuribili era quelle concernment l'indipendenza dalla polarizazione. Nella figura 1 non riporati al-concerni e 76 în 1 luis invariando contresponamente, alla stessi firesponza e sullo atesso collegamento, le attenuation în polarizazione verticale el orizonate 8 ivve che, al contrario di quanto previsto dalla reciri, a pode-tizazione orizonate titulta più attenuata e lu differenza tra le attenuazioni ammenta con l'entiti del firenomeno collegamento, la commenta con l'entiti del firenomeno collegamento del presidenti productione.

Ben presso el si rese como che il motivo di ciò dipendeva dal fatto che le goge con erano sitoricie na solicaciare e tamo più chiestate quanto misgolio erano le loro dimensioni, come motrano in figura 2. Qualitariamente era spiegazo quindi perche la polatrizzatione orizzonate ara più attenuate e presche di differensa creece con l'amentatura dell'interestiti di percipliratione. All'amentate dell'immittà creecon infesti è elimentatione delle goce e quindi la lisoni dei dell'immittà creecon infesti è elimentatione delle goce e quindi la lisoni dei dell'immittà creecon infesti è elimentatione delle goce e quindi la lisoni de

Per i siultati quantitativi eccorrera attender il 1900 alberdé il fisico-impromeo Quelle clacib la diffisiono el assorbimento di una geccia dissolida (esta come Mie aveva fatto per la goccia sferica el il 1979, allorabi dale (esta come Mie aveva fatto per la goccia sferica) el il 1979, allorabi il un gruppo delle Fondarione Sordoni, il posizzando gecce ellissiosidali, riscal cinio strate che la relazione y-R era ancora del tipo y = kR\* ma con k ed a dipendenti son solo dalla frequenza ma anche dalla polarizazione.

Sulla base di tali risultati fu preparata la tabella di figura 3 che fornisce i valori di k ed α per le due polarizzazioni e per frequenze da 1 a 400 GHz.

<sup>(1)</sup> F. Finst (Editor), The Eurocop-COST 25/4 Project on Radiopropagation above 10 GHz, «Alta Frequenca», English issue, April (1979).

Questa tabella è contenuta nelle raccomandazioni del CCIR ed è oggi universalmente utilizzata.

Il secondo punto fondamentale del modello riguardava la possibilità di caratterizzare ogni località con una funzione di distribuzione dell'intensità di precipitazione R(P) che si potesse ritenere valida in tutti i punti della zona del collezamento.

Dagli studi sull'andamento di R nel tempo ci si accorse ben presto che le precipitazioni intense tendono ad essere concentrate in beroi periodi di tempo, pochi minuti. Dalla fignas 4, che birporta un evento misuato a Roma nel 775, si vede che i picchi di intensità (fino a 300 mm/h) sono concentrati in circa 4 mi unti: la media carata non sarebbe invere attas asperiore a qualche millimetro.

Da risultati di questo tipo ci si avvide subito che i dati dei Servizi Meteorologici, presentati normalinente come medie orazie, non potevano essere usati direttamente. Con opportune tecniche, dalle registrazioni originarie, si è iniziato ad estrarre dati di intensità mediati tipicamente su uno-due minuti. Particolar-

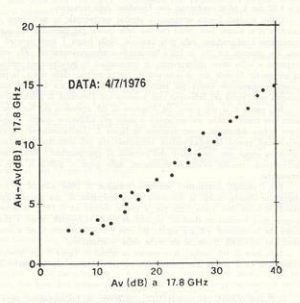
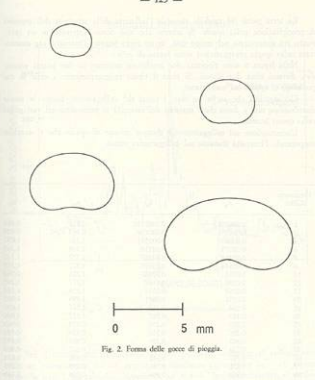


Fig. 1. Attenuazioni misurate a 17.8 GHz per polarizzazioni orizzontale z verticale.



mente notevole nel nostro Paese è stata, in questo campo, l'attività dello CSELT di Torino.

Infine si è visto che i dati statisticamente più stabili e più utili sono i valori di intensità superati per lo 0.01% del tempo di un anno cioè circa 1 h/anno. Si è pertanto proceduto in sede intensasionale CCIR a caratterizzare le varie

zone da questo punto di vista.

Nella figura 5 sono riportate le curve « isointensità» (che sono come le curve di livello nelle curre topografiche) per la Regione 1. Si vede, ad esempio, che per il nostro pasce le zone più piorose sono quelle ritrerois. Geovay, con picchi, fino « 6 n-70 mm/h.

Si nota anche che questi valori sono superiori a quelli riscontrabili in paesi notoriamente « piovosi » come, ad esempio, la Gran Bretagna.

La terza parte del modello riguarda l'influenza della struttura dell'intensità di precipitazione nello spazio. Si accertò che così come l'intensità in un certo punto era concentrata nel tempo così, in un certo istante, l'intensità era concentrata nello spazio presentandosi sotto forma di celle.

Nella figura 6 sono riportate due condizioni misurate in due istanti successivi, distanti circa due minuti. Si nota il tipico raggruppamento a celle la cui posizione si sposta nei vari istanti.

Ciò significa che anche se tutti i punti del collegamento hanno la stessa distribuzione non è detto che i massimi dell'intensità si presentino nei vari punti nello stesso istante.

L'attenuazione sul collegamento è dunque minore di quella che si avrebbe supponendo l'intensità costante sul collegamento stesso.

Frequency (GHz)	k <sub>B</sub>	k <sub>r</sub>	$\alpha_{H}$	α,
1	0.0000387	0.0000352	0.912	0.880
2	0.000154	0.000138	0.963	0.923
4	0.000650	0.000391	1.121	1.057
6	0.00175	0.00155	1,308	1.26
6 7	0.00301	0.00265	1.332	1,312
8	0.00454	0.00395	1.327	1,310
10	0.0101	0.00887	1.276	1.264
12	0.0188	0.0168	1.217	1.200
15	0.0367	0.0335	1.154	1.128
20	0.0751	0.0533	1.099	1.063
25	0.124	0.0691		
30	0.124		1.061	1.030
35		0.167	1.021	1,000
	0.263	0.233	0.979	0.963
40		0.310	0.939	0.925
	0.442	0.393	0.903	0.897
50	0.536	0.479	0.837	0.868
69	0.707	0.642	0.826	0.82
70	0.851	0.784	0.793	0.793
	0.975	0.906	0.769	0.766
59	1.06	0.999	0.753	0.754
100	1.12	1.06	0.743	0.744
120	1.18	1.13	0.731	0.732
150	1.31	1.27	0.710	0.711
200	1.45	1.42	0.689	0.690
300	1.36	1.35	0.688	0.689
400	1.32	1.51	0.683	0.684

<sup>\*</sup> Raindrop size distribution (Laws and Parsons, 1943).

Fig. 3. CCIR - Coefficienti di regressione per la stima delle attenuazioni specifiche.

Terminal velocity of raindrops [Gunn and Kinzer, 1949]. Index of refraction of water at 20°C [Ray, 1972].

Values of  $k_B$ ,  $k_V$ ,  $\alpha_R$  and  $\alpha_V$  for spheroidal drops [Fedi 1979; Maggiori, 1981] based on regression for the rande 1 to 150 mm/h.

## EVENTO DEL 17/11/1975 IN ROMA

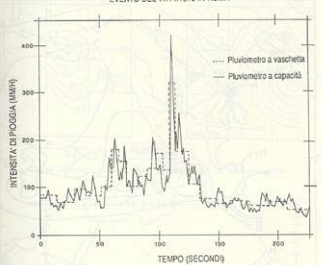


Fig. 4. Esempio di un evento di precipitazione.

Per il calcolo dell'attenuazione si può perunto sostituire al collegamento reale un collegamento fittizio, avente una lunghezza equivalente Le = rL minore di quella reale L ma tale che, suppenendo su di essa l'intensità costante, si ottiene lo stesso valore di attenuazione.

Il problema si sposta dunque al calcolo del coefficiente di riduzione r anch'esso funzione della percentuale di tempo P.

Il problems del claccho del coefficiente di riduzione i è stato molto senplificia dell'oscrettorione dei numercoi dai reprimentali sergaturati ne di problema dell'oscrettoria i reprimenta i sergaturati nel Europe. Si motò infatti che le distribuzioni dell'internazione riportate in scala doppiamente lagraturati: ridultatora tutta odde erette, approadrativamente parallele, indispondamentate dalla frequenza, dalla principa della distribuzione della considerazione di segmentati della distribuzioni della figura P. e 8 i dati rottoriali redistribuzioni della figura P. e 8 i dati rottoriali redistribuzioni della figura D. e 80 in al diverse frequence e polarizzazioni; ci i dati rottoriali in località (Regno Unito e Giappone), collegamenti, frequence e polarizzazioni differenti.

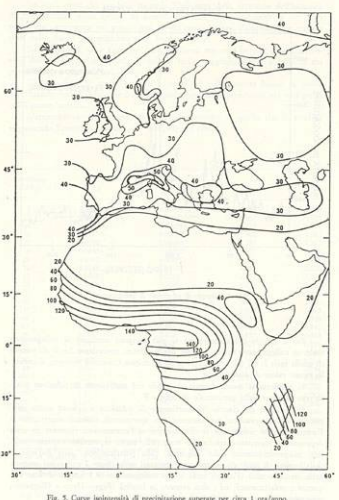


Fig. 5. Curve isolatensità di precipitazione superate per circa 1 ora/anno.

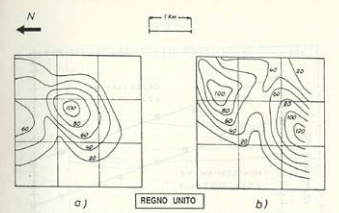


Fig. 6. Celle piosose in due istanti di tempo separati di due minuti primi.

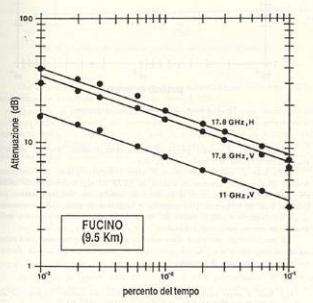


Fig. 7. Funzioni di distribuzione dell'attenuazione.

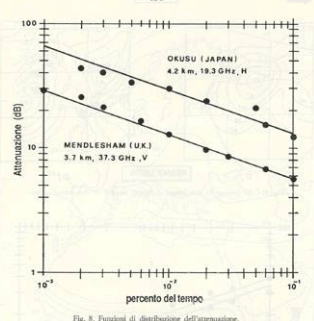


Fig. 8. Funzioni di distribussone deli stientiszione.

Tenuto conto di questa proprietà, basta evidentemente calcolare un solo punto della funzione di distribuzione di A(P).

Sulla base di quese osservazioni è stato viduppato presso la Fendazione Rondoni (<sup>3</sup>) Il mesolo, adotto in seguito di CCIR de oggi universalmente utilizzato, che permette di calcolare la funzione di distribuzione dell'attenzazione qualsiati localiti, frequenza, polarizzazione e langherza di tratta dalla conoscenza di un solo numero e ciò il valore dell'attenzità di precipitazione superato, nella località in essato, per circa 1 d'Anno.

La precisione del metodo è stata valutata sulla base di una banca dati estremamente rappresentativa (90 collegamenti/anno) ottenuti soprattutto in Europa ma anche in altre parti del mondo.

(2) F. Fant, A simple method for predicting rain attenuation statistics on terrestrial and corth-space paths. Relax. FUB 1B 1081.

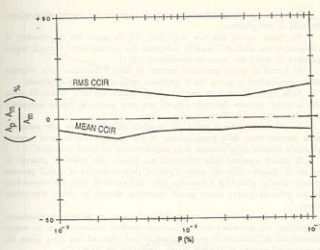


Fig. 9. Precisione del metodo di precisione per collegamenti terrestri.

Dal diagramma di figura 9 si vede che il valore efficace dell'errore sull'intero campione esaminato risulta contenuto entro il 15%.

Questo è un risultato estremamente degno di nota se si tiene conto che — a fronte della complessità del fenomeno fisico — il metodo è estremamente semplle: baste un solo numero e cio di valoce dell'intensità superata per 1 h/anno per calcolare A(P) per qualsiasi frequenza e polarizzazione, per qual-

stasi lunghezza e qualsiasi località.

Le stesse esigenze manifestatesi per i collegamenti terrestri si presentatono ben presto anche per i collegamenti via satellite.

Anche nel caso dei collegamenti via satellite — dati la località della stazione terrena, la frequenza, la polarizzazione e l'angolo di elevazione del collegamento — occorreva ottenere la funzione di distribuzione dell'attenuazione.

Nel caso dei collegamenti via satellite la situazione fisica si presentava però più complicata che per i collegamenti terrestri.

Si sapeva che la temperatura diminuiva con la quota e che quindi, ad una certa altezza, all'acqua allo stato liquido si aostituiva il ghiaccio.

Nulla però si supeva della microstruttura delle precipitazioni in quota e soprattutto quale fosse la relazione tra la microstruttura misurata al suolo e a noi nota e quella in quota.

Tutto ciò rendeva estremamente difficile costruire un legame attenuazioneintensità di precipitazione.

Per questi motivi alla fine degli anni '70, la possibilità di estendere ai collegamenti via satellite il modello sviluppato per i collegamenti terrestri veniva guardata da molti con notevole scetticismo.

Ai fautori di questa possibilità vennero in aiuto i dati radar sulla struttura delle precipitazioni in quota che si andavano accumulando in quel periodo.

ocue precipitazioni in quota che si andavano accumulando in quel periodo.

Nella figura 10 (a) è mostrato un tipico andamento della riflettività radar

con la quota: costante dal suolo fino ad una certa quota, un rapido aumento e

una altrettanto rapida diminuzione.

La riflettività radar è molto più sensibile dell'attenuazione alle variazioni della microstruttura delle precipitazioni: la sua costanza con la quota rendeva plausibile l'inotesti della costanza della microstruttura nei primi chilometri.

Il brusco aumento della riflettività era dovato allo strato di ghiaccio in quota: il ghiaccio diffonde molto l'energia elettromagnetica e quindi provoca elevati valori di riflettività ma attenua poco. Dal punto di vista dell'attenuazione la sua presenza poteva essere perciò trascurata, almeno in prima approssimazione.

Da queste considerazioni venne l'idea di usare un modello estremamente semplificato che prevedeva una attenuazione specifica costante e con un valore determinato dall'intensità di precipitazione al suolo fino ad una certa quota Ha e con un valore zero al di sopra di tale quota (fig. 10, b).

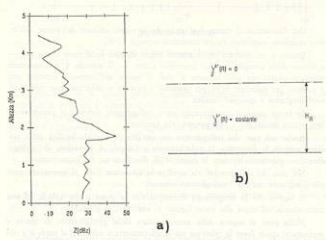


Fig. 10. Riflettività radar con la quota (a) e modello semplificato di attenuazione (b).

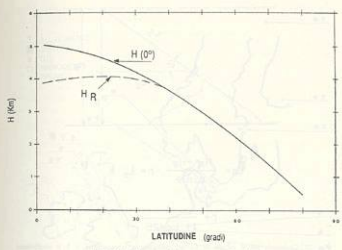


Fig. 11. Andamento dell'isoterma a zero gradi.

Venne spontaneo pensare di assumere come quota H<sub>R</sub> quella dell'isoterma a zero gradi misurata dai servizi meteorologici con i sondaggi verticuli. Tale quota risulto di eserve con la latitudine l'andamento riportato in figura 11: molto basso ai poli e di circa cinque chilometri all'equatore.

Con il modello molto semplificato descritto, il metodo sviluppato per i collegamenti terrestri fia estreo facilimente ai collegamenti via satellite. Noto l'angolo di elevazione del collegamento, la quota della stazzione e la quota dell'isterna a zero gandi in quella località risultò semplice calcolare la lunghezza equivalente del collegamento, come mostrato in firura 12.

Rimaneva il problema di accertare la precisione del metodo.

Venne in aiuto a questa esigenza la notevole attività sperimentale sviluppata in quegli anni in Europa.

Alla fine degli anni '70 erano disponibili nel ciclo d'Europa dos astellito per prove di propagatione. L'OTS, lanciato dall'ESA, che permetteva misure a 11 e 14 GHz, ed il satellite Italiano STRIO che permetteva misure a 11 e 18 GHz e la cui conduzione scientifica era curata dal Centro Studi Telecomunicazioni Spaziali del CNR di Milano.

Agli inizi degli anni '80 fu pertanto deciso, di lanciare un nuovo progetto europeo COST i cui obiettivi erano:

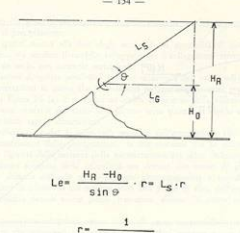


Fig. 12. Geometria per il calcolo di Le nei collegamenti terra-satellite (r è il coefficiente di induzione.

- la produzione di una base di dati globale ed unificata (utilizzando le stazioni dell'OTS e del SIRIO, i radiometri, i radar e le stazioni pluviometriche);
  - l'analisi centralizzata di tale base dati;
- lo sviluppo di modelli di radiopropagazione per la planificazione dei futuri sistemi via satellite curopei.

E'apparato sperimentale che risultò da questi sforzi congiunti fu veramente rapparatevole come è moirato nella figura 13: 6 stazioni SIRIO, 20 stazioni OTS, 13 radiomenti, 2 radar e 14 stazioni pluviomentiche. Tutto ciò consenti, acocoa una volta, all'Europa di avere un ruolo di primo piano in ambito internazionale.

Ancora una volta, in riconoscimento delle notevoli attività villuppate in quesso campo nel nostro paece, la presidenza del progetto fu affidata all'Italia. I risultati del progetto furono pubblicati in un numero speciale di Alta Frequenza (¹), illustrati in un Simposio appositamente organizzato a Capri dalla

 F. Pinz (Editor), Project COST 205: Influence of the Atmosphere on Earth-Satellite Radiopropagation at Frequencies above 10 GHz. «Alta Frequentia», May-June (1985).



Fig. 13. Disposizione della stramentazione di misura nelle diverse località europee per il Progetto COST 205.

Fondazione «Ugo Bordoni» nell'85 e presentati al Comitato Consultivo Internazionale Radiocomunicazioni (CCIR), dove hanno riscosso notevolissimo interesse.

I risultati circa la precisione del metodo di calcolo dell'attenuazione da pioggia, ormal adottato dal CCIR ed usato universalmente, ottenuti sulla base dei dati raccolti nel progetto COST sono illustrati nella figura 14. In casa è riportato il valore efficace dell'errore relativo, in funzione della percentuale di tempo o dell'attenuazione.

La conclusione è che nei collegamenti via satellite le statistiche dell'attenua-

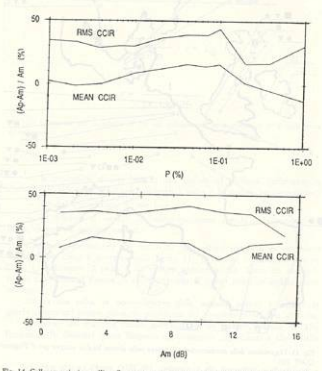


Fig. 14. Collegementi via satellise. Comportamento dell'errore relativo con dati a lungo rermine.

zione da pioggia possono essere calcolate a partire dai dati di intensità di precipitazione con una precisione dell'ordine di 15-30%.

Questo continua ad essere un risultato estremamente confortante se si pensa alla complessità del fenomeno fisico ed al fatto che, ancora una volta, basta un solo numero — l'intensità di precipitazione superata per 1 h/anno nella località d'interesses — per calcolare le statistiche di attenuazione.

Va anche osservato che anche per un metodo perfetto il limite sarebbe sempre costituito dalla precisione con cui si conosce il dato di ingresso, cicò l'intensità R. Se l'errore nella misura di R è del 20%, ad esempio, l'errore nel calcolo di A(P) non può essere minore del 20%.

Queste considerazioni portano a concludere che uno dei primi obiettivi delle ricerche future è quello del miglioramento delle mappe di intensità di precipitazione. Nel nostro passe, a causa della natura morfologicamente molto varia de-

territorio, questo è un punto particolarmente importante.

Altri obiettivi di rierras sono legari all'utilizzo di frequenza superiori a circa 20 Gilla. A queste frequence accorre infanti indegrare unl'unolo degli altri tipi di precipitazione; sull'effetto delle idrometore allo stato misto acquasphiacio en folia vintame dell'interna sa regulare di, infine, sul comportamento delle statistiche di attenuazione per valori di P superiori all'196. A questi valori prodeboro potrare un contributo importante accide deri trigi di fenomeni quali morbidoro potrare un contributo importante accide deri trigi di fenomeni quali morbidoro potrare un formato dell'artico dell'artico della contributa di productiva accide deri trigi di fenomeni quali morbidoro potrare un formato di productiva dell'artico dell'artico della contributa di productiva accidentatione della contributa di productiva accidentatione della contributa di productiva della contributa di productiva dindicata di productiva di productiva di productiva di productiva d

voce, necona ecc.

Infine, un altro obiettivo estremamente importante delle ricerche future è
quello di ottenere dati sulle statistiche congiunte dell'attenuazione in punti variamente distanti. Queste informazioni, peraltro oggi estremamente scarse, sono invece di importanza foodumentale per valutare l'efficacia delle tenche di diversità.

In queste future ricerche l'Europa svolgerà di nuovo un ruolo di primo piano anche dal punto di vista sperimentale. Agli inizi dell''89 sarà disponibile il satellire europeo OLYMPUS che permetterà prove di propagazione a 12.5, 20 e 30 GHz.

Circa un anno dopo sarà disponibile il satellite Italiano ITALSAT che permetterà prove di propagazione a 20 GHz e a 40 e 50 GHz.

L'Italia parteciperà alle prove con ambedue i satelliti con uno dei programmi sperimentali più interessanti in ambito europeo.

Nella figura 15 è mostrata la dialocazione delle stazioni aperimentali pevirte dal programma di ricera condotto dall'Intiuno Superiore Pil e dalla Fondazione Ugo Bordoni (\*). Si tratta di circa 25 piecole suzzio fil codidelte autaliarito la 20 GHz e di una stazione (cosideletra principule), dialocata a Roma, chie doverbebe effetturare misure a untue le fresponse consonite dal des attelli, da 12 a 50 GHz. Nella figura sono riportata anche le altre due stazioni principali receivate vicina s'alluno, presso la CSERI, a l'articolo, nosseo lo CSERI.

<sup>(9)</sup> F. Fitti e A. Pantioca, Progetto di partecipazione coordinata a livello nazionale agli esperimenti di provocazione con i astelliti Olympus ed ITALSAT. «L'Elettrocenica», Vol. EXXXII, n. 1, Juglio 1985.

## OLYMPUS - ITALSAT



location of the main and small stations network.

Il programma italiano è stato preparato e sarà seguito da un gruppo formato appositamente, coordinato dalla Fondazione « Ugo Bordoni », ed a cui partecipano non solo gli Enti impegnati nella ricerca, ma anche industrie e società di esercizio.

L'ampicio che si può formulare è che attraverso la prossime attività di ricerca — che si preamunciano così interessanti sia dal puntos cientifico che applicativo — venga mantenuta la raggaardevole tradizione culturale svilappata in Italia negli ultimi venti anni e la collaborazione, rivedatasi così proficua, tra i vari enti di ricerca sia in campo nazionale che in campo curopora.

E con questo auspicio concludo, ringraziando tutti per la cortese attenzione